МИНИСТЕРСТВО ОБРАЗОВАНИЯ И НАУКИ РОССИЙСКОЙ ФЕДЕРАЦИИ ТОМСКИЙ ГОСУДАРСТВЕННЫЙ УНИВЕРСИТЕТ

МАТЕРИАЛЫ

IV Международной молодежной научной конференции

«МАТЕМАТИЧЕСКОЕ И ПРОГРАММНОЕ ОБЕСПЕЧЕНИЕ ИНФОРМАЦИОННЫХ, ТЕХНИЧЕСКИХ И ЭКОНОМИЧЕСКИХ СИСТЕМ»

Томск, 20-21 мая 2016 г.

Под общей редакцией кандидата технических наук И.С. Шмырина

Томск Издательский Дом Томского государственного университета 2016 роды, по их реализациям в виде СВР. Алгоритм был применен для решения задачи моделирования кардиологических событий, в частности — для обнаружения характерных признаков перегородчного инфаркта миокарда. На этапе решения данной задачи, с целью получения устойчивой работы алгоритма и повышения эффективности результатов его работы, был осуществлен поиск оптимального размера окна для обнаружения признака инфаркта миокарда по реализации ЭКГ сигнала в отведениях V_2 , V_3 . Таким образом, был определен оптимальный размер окна для обнаружения кардиологического события, на этапе поиска которого было проведено исследование зависимости величины оптимального окна от шумовой составляющей в полезном сигнале. Оценивание результатов работы алгоритма было выполнено как изучение его эффективности в зависимости от уровня ОШС.

ЛИТЕРАТУРА

- 1. *Тырсин А.Н.* Идентификация нестационарных экономических процессов на основе дискретносовпадающих моделей авторегрессии // Известия Уральского государственного экономического университета. 2004. № 9. С. 44–51.
- 2. *Букреев В.Г., Колесникова С.И.*, *Янковская А.Е.* Выявление закономерностей во временных рядах в задачах распознавания состояний динамических объектов. Томск: Изд-во ТПУ, 2010. 254 с.
 - 3. Бокс Дж., Дженкинс Г. Анализ временных рядов. Прогноз и управление. М.: Мир, 1974. Вып. 1.
- 4. Афанасьев В.Н., Юзбашев М.М. Анализ временных рядов и прогнозирование, М.: Финансы и статистика, 2001.
- 5. *Рудаков К.В.*, *Чехович Ю.В*. Алгебраический подход к проблеме синтеза обучаемых алгоритмов выделения трендов // ДАН. 2003.Т. 388. № 1. С. 33–36.
- 6. Ивахненко А.А., Каневский Д.Ю., Рудева А.В. и др. Выявление групп объектов, описанных набо-ром многомерных временных рядов // Математические методы распознавания образов (ММРО_13). М.:МАКС Пресс, 2007.
- 7. Васин Е.А., Костенко В.А., Коваленко Д.С. Автоматическое построение алгоритмов, основанных на алгебраическом подходе, для распознавания предаварийных ситуаций динамических систем // Искусственный интеллект. 2006. № 2. С. 130–134.
- 8. Коваленко Д.С., Костенко В.А., Васин Е.А. Исследование применимости алгебраического подхода к анализу временных рядов // Методы и средства обработки информации. М.: Изд. ВМиК МГУ, 2005.С. 553–559.
- 9. *Журавлев Ю.И*. Об алгебраическом подходе к решению задач распознавания или классификации // Проблемы кибернетики. 1978. Т. 33. С. 5–68.
- 10. Рудаков К.В., Чехович Ю.В. Алгебраический подход к проблеме синтеза обучаемых алгоритмов выделения трендов// ДАН. 2003
- 11. Журавлев Ю.И. Об алгебраическом подходе к решению задач распознавания или классификации //Проблемы кибернетики. 1978. Т. 33. С. 5–68.
- 12. *Рудаков К.В., Чехович Ю.В.* Алгебраический подход к проблеме синтеза обучаемых алгоритмов выделения трендов // ДАН. 2003.
- 13. Коваленко Д.С., Костенко В.А., Васин Е.А. Исследование применимости алгебраического подхода к анализу временных рядов // Методы и средства обработки информации.

НЕЛИНЕЙНОЕ УПРАВЛЕНИЕ В БАЛАНСОВОЙ ТРЕХМЕРНОЙ МОДЕЛИ С ХАОТИЧЕСКИМИ РЕЖИМАМИ

Н.Д. Дубина, С.И. Колесникова

Томский государственный университет dubina-nina@mail.ru, skolesnikova@yandex.ru

Введение

Решение вопроса синтеза устойчивых и робастных систем управления многомерными нелинейными динамическими объектами с возникновением методов управления в скользящем режиме (В.И. Уткин), бэкстеппинг (Kokotovic P.V.), аналитического конструирования агрегированных регуляторов (АКАР, А.А. Колесников), принцип инвариантного погружения в задачах (immersion and invariance, Astolfi A., Ortega R.) вышло на новый уровень. Отметим, что все перечисленные методы используют аналитически обоснованный механизм, реализующий принцип самонастройки (адаптации) и инвариантных многообразий. Однако в силу наличия явления детерминированного хаоса

в нелинейных и многосвязных объектах общего универсального алгоритма синтеза управления многомерными с хаотическими режимами сложными объектами не существует, и вопрос управления такими объектами по-прежнему актуален.

В работе рассматривается применение метода аналитического конструирования агрегированных дискретных регуляторов совместно с методом адаптивного управления на многообразиях [1] для нелинейной балансовой модели третьего порядка, описывающей работу малой фирмы [2], при этом предполагается, что в модели описания присутствует внешнее возмущение с неизвестным законом описания, но с ограниченным диапазоном значений.

1. Постановка задачи

Рассматривается трехмерная нелинейная модель с хаотическими режимами, содержательно интерпретируемая как модель предприятия, осуществляющего деятельность в сфере компьютерных технологий, с соответствующей подгонкой параметров модели. Понятно, что параметры в системе, описывающие экономическую деятельность фирмы, в реальных условиях могут отклоняться от значений, гарантирующих устойчивое состояние [2].

С этой целью ставится задача такого управления объектом, которое обеспечивало бы асимптотически устойчивое движение изображающей точки объекта из любой начальной точки фазового пространства в окрестность аналитически заданного многообразия как модели целевого состояния $\psi(X_1, X_2, X_3) = 0$, где $\psi(\cdot)$ — известная функция, а объект управления имеет следующее описание:

$$\begin{cases} \frac{dX_{1}}{dt} = aX_{2}X_{3} - \gamma X_{1}, \\ \frac{dX_{2}}{dt} = \mu (X_{2} + X_{3}) - \beta X_{1}X_{3}, \\ \frac{dX_{3}}{dt} = \delta X_{2} - \lambda X_{3} + Z + u. \end{cases}$$
 (1)

В описании (1) переменные X_1 , X_2 , X_3 означают объем затрат на содержание сотрудников, величину капитала, объем затрат на использование новых технологий, соответственно; α , β , γ , δ , λ , μ — некоторые коэффициенты пропорциональности, Z — внешнее неизвестное (ограниченное) возмущение, функция времени. Следует отметить, что объект (1) без двух последних слагаемых в последнем уравнении был исследован на устойчивость в работе [2].

Задача синтеза системы управления состоит в определении управления u(x) как функции координат состояния системы, обеспечивающего работу фирмы при заданных условиях и доставляющий глобальный минимум оптимизирующему функционалу качества управления:

$$J = \int_{0}^{\infty} \left(T_{i} \dot{\psi}_{i}^{2}(t) + \psi_{i}^{2}(t) \right) dt \rightarrow \min_{u(t)}, \quad 0 < T_{i} < \infty, \tag{2}$$

где величины T_i , i=1,2 интерпретируются, как величины, пропорциональные времени движения изображающей точки системы управления до пересечения многообразий и являются параметрами настройки регулятора; $\psi_i(t)$ — целевые макропеременные, i — при скалярном управлении номер этапа синтеза, i=1,2, u(t) — управление. Как следует из вида (2), на каждом этапе синтеза управления задается свой оптимизирующий функционал.

2. Методика решения поставленной задачи управления

Решение задачи основано на методе аналитического конструирования агрегированных регуляторов совместно с методом адаптивного управления на многообразиях научной школы А.А. Колесникова [1].

Метод АКАР опирается на аппарат инвариантов и целевых многообразий. Основные положения алгоритма синтеза системы управления для объекта (1) реализуются следующими шагами.

1. Задается макропеременная $\psi(x)$, $X = (X_1, X_2, X_3)$, равенство нулю которой $(\psi(X) = 0)$ задает целевое многообразие, содержательно означающее желаемые предельные соотношения между переменными объекта управления, реализующие технологические цели управления. Для объекта управления (1) в качестве примера вводится целевой инвариант

$$X_{1} = X_{10}, (3)$$

интерпретируемый как требование стабилизации затрат на сотрудников посредством управления затратами на новые технологии.

2. Согласно классическому методу АКАР производится расширение фазового пространства с целью перевода внешнего возмущения в фазовую переменную (система управления становится замкнутой):

$$\begin{cases} \frac{dX_{1}}{dt} = aX_{2}X_{3} - \gamma X_{1}, \\ \frac{dX_{2}}{dt} = \mu (X_{2} + X_{3}) - \beta X_{1}X_{3}, \\ \frac{dX_{3}}{dt} = \delta X_{2} - \lambda X_{3} + Z + u, \\ \frac{dZ}{dt} = \eta (X_{1} - X_{10}). \end{cases}$$
(4)

3. Вводится вспомогательная макропеременная, где неизвестная на этом этапе функция $\phi(X)$, интерпретируется как внутреннее управление:

$$\psi_1(t) = X_3 + \varphi(X_1, X_2, Z).$$

4. Определяется управление u с точностью до функции $\phi(X_1, X_2, Z)$ на основе метода Эйлера Лагранжа:

$$u = f\left(X_1, X_2, Z, \frac{\partial \varphi}{\partial X_1}, \frac{\partial \varphi}{\partial X_2}, \frac{\partial \varphi}{\partial Z}\right).$$

Управление u переводит изображающую точку системы (4) в окрестность многообразия $\psi_1(t) = 0$, движение вдоль которого описывается системой дифференциальных уравнений:

$$\begin{cases} \frac{dX_{1}}{dt} = aX_{2} \varphi(X_{1}, X_{2}, Z) - \gamma X_{1}, \\ \frac{dX_{2}}{dt} = \mu(X_{2} + \varphi(X_{1}, X_{2}, Z)) - \beta X_{1} \varphi(X_{1}, X_{2}, Z), \\ \frac{dZ}{dt} = \eta(X_{1} - X_{10}). \end{cases}$$
 (5)

5. Для декомпозированной системы (5) задается вторая макропеременная:

$$\psi_2(t) = X_1 - X_{10} + \Delta Z = 0.$$

6. Определяются решения функционального уравнения, на которых выполняется условие глобального экстремума функционала (2):

$$T_2 \dot{\psi}_2^2(t) + \psi_2^2(t) = 0$$
, $0 < T_2 < \infty$.

Заметим, что на инвариантном многообразии $\psi_2(t) = 0$ выполняется соотношение:

$$X_1 - X_{10} = -\Delta Z ,$$

которое гарантирует асимптотическую устойчивость решениям четвертого уравнения системы (5) при $\eta \Delta > 0$, в силу справедливости равенства:

$$\frac{\partial Z}{\partial t} = -\eta \Delta Z ,$$

и, как следствие, достижение целевого инварианта (3) в установившемся режиме.

7. Определяется явный вид функции $\phi(X_1, X_2, Z)$ и явный вид выражения для u:

$$u = \lambda X_{3} - \delta X_{2} - Z + \frac{1}{\alpha X_{2}} \left(\gamma - \Delta \eta - \frac{1}{T_{2}} \right) \left(\alpha X_{2} X_{3} - \gamma X_{1} \right) - \frac{1}{\alpha X_{2}} \left(\gamma X_{1} - \Delta \eta \left(X_{1} - X_{10} \right) - \frac{X_{1} - X_{10} + \mu Z}{T_{2}} \right) \left(\mu \left(X_{2} + X_{3} \right) - \beta X_{1} X_{3} \right) - \frac{\mu}{\alpha X_{2} T_{2}} \eta \left(X_{1} - X_{10} \right) - \frac{\psi_{1}}{T_{1}}.$$

$$(6)$$

3. Численное моделирование

Проведено численное моделирование построенной системы управления с учетом влияния на систему случайных и гармонических помех, результаты которого свидетельствуют об асимптотически устойчивом стремлении координат объекта к окрестности заданного состояния. Таким образом, благодаря построенному управлению можно гарантировать вывод объекта-фирмы из неустойчивого состояния в заданное состояние (см. рис.1, 2).

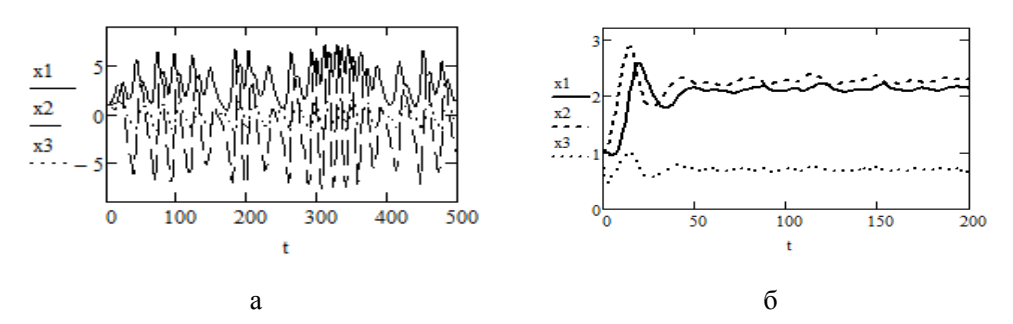
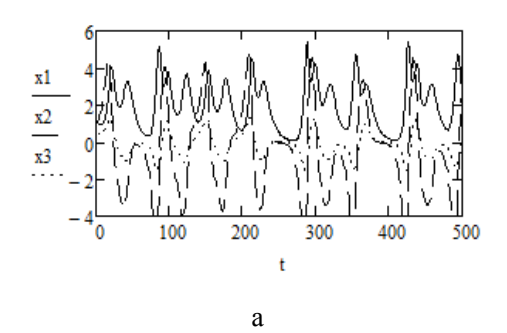


Рис. 1. Поведение объекта в нерасчетных условиях (случайные помехи) с исходными данными: α = 1.3319, β = 3.337, γ = 0.99, δ = 1.047, λ = 3.52, μ = 1.68, η = -0.35, Δ = 0.1; начертание: сплошная линия — затраты на сотрудников, пунктир — величина капитала, точки — затраты на обучение сотрудников; а) — без управления; δ) — с управлением



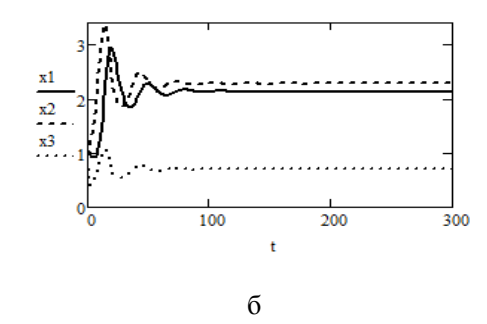


Рис. 2. Поведение объекта в расчетных условиях (гармонические помехи) с исходными данными: $\alpha=1.3319$, $\beta=3.337$, $\gamma=0.99$, $\delta=1.047$, $\lambda=3.52$, $\mu=1.68$, $\eta=-0.35$, $T_1=0.21$, $T_2=0.06$, $\Delta=0.1$; начертание: сплошная линия — затраты на сотрудников, пунктир — величина капитала, точки — затраты на обучение сотрудников; а) — без управления; δ) — с управлением

Качество полученной системы управления (4), (6) в условиях внешних помех традиционно оценивается по параметрам переходного процесса (амплитуда, длительность) (табл. 1).

Таблица 1 Характеристики системы управления в условиях случайных / гармонических возмущений

Координаты системы (4)	Длительность переход- ного процесса (в днях)	Амплитуда переходного процесса	
		Максимальное значение отклонения	Среднее значение отклонения
Затраты на сотрудников	69 / 75	1.237 / 1.219	0.067 / 0.066
Капитал	78 / 87	1.344 / 1.29	0.058 / 0.068
Затраты на НТ	52 / 61	0.346 / 0.384	0.017 / 0.038

Результаты численного моделирования, приведенные в табл. 1, свидетельствуют о приемлемом качестве управления.

Заключение

Для нелинейного трехмерного объекта с хаотическими режимами (1) сконструирована система управления (4), (6), гарантирующая асимптотически устойчивое движение изображающей точки объекта (1) из любого начального состояния в окрестность заданного состояния (3) и дальнейшее удержание объекта в этой окрестности. Полученное управление гарантирует глобальный минимум функционалу качества (2), который, как нетрудно убедиться, является обобщением квадратического функционала качества, традиционно используемого в классической теории адаптивного управления.

Результаты работы могут быть актуальны в системах поддержки принятия решений, используемых в экономических прикладных задачах, в задачах перераспределения финансовых потоков для обеспечения стабильной деятельности малых предприятий, поскольку найденный закон управления представляет собой способ организации обратной связи (упреждающего воздействия), позволяющий контролировать поведение системы.

ЛИТЕРАТУРА

- 1. Колесников А.А. Синергетика и проблемы теории управления: сборник научных трудов / Под ред. А.А. Колесникова. М.: ФИЗМАТЛИТ, 2004.
- 2. *Шаповалов В.И.* Моделирование синергетических систем: Метод пропорций и другие математические методы / В.И. Шаповалов. Проспект, 2015. 136 с.